

## **МАГНИТНЫЕ НАНОКОМПОЗИТЫ НА ОСНОВЕ ОПАЛОВЫХ МАТРИЦ И МЕТАЛЛОВ (Со И Ni)**

А.Ф. Белянин, А.Б. Ринкевич, Е.Р. Павлюкова, П.В. Пащенко, В.В. Борисов

### **АННОТАЦИЯ**

Магнитные нанокомпозиты на основе опаловых матриц, пустоты которых содержат кристаллиты Со и Ni, формировали отжигом в H<sub>2</sub>. Вкладыши из магнитных нанокомпозитов использовали в Y-циркуляторах.

### **КЛЮЧЕВЫЕ СЛОВА**

ОПАЛОВЫЕ МАТРИЦЫ, МАГНИТНЫЕ НАНОКОМПОЗИТЫ, Y-ЦИРКУЛЯТОРЫ

## **MAGNETIC NANOCOMPOSITES BASED ON OPAL MATRICES AND METALS (Co AND Ni).**

A.F. Belyanin, A.B. Rinkevich, E.R. Pavlyukova, P.V. Paschenko, V.V. Borisov

### **ABSTRACT**

Magnetic nanocomposites based on opal matrices, the porous of which contain Co and Ni crystallites, were formed by annealing in H<sub>2</sub>. Magnetic nanocomposite inserts were used in Y-circulators.

### **KEYWORDS**

OPAL MATRICES, MAGNETIC NANOCOMPOSITES, Y-CIRCULATORS

### **ВВЕДЕНИЕ**

Трехмерные нанокомпозиты на основе опаловых матриц (ОМ), характеризующиеся упорядоченным взаимным положением компонентов, проявляют уникальные функциональные свойства. ОМ представляют правильную упаковку шаровых частиц аморфного SiO<sub>2</sub>, диаметры которых в зависимости от условий формирования могут варьироваться в заданных пределах 200–700 нм [1, 2]. Трехмерная решетка сообщающихся пространственно упорядоченных межшаровых пустот ОМ, занимающих ~26% объема, при их заполнении различными веществами позволяет получать правильное трехмерное строение отдельных компонентов нанокомпозитов. Периодическая структура компонентов нанокомпозитов на основе ОМ существенно изменяет микроволновые свойства нанокомпозитов [2–5]. Нанокомпозиты на основе ОМ и 3D-нанорешеток частиц (размерами несколько десятков нм) магнитных материалов перспективны для использования в различных устройствах, в частности, в Y-циркуляторах [6–8].

Цель работы – изучение взаимосвязи строения и состава с магнитными свойствами нанокомпозитов на основе ОМ, пустоты которых содержат Со и Ni.

### **МЕТОДИКА ЭКСПЕРИМЕНТА**

Объемные образцы ОМ получали при температурах 310–350 К из суспензии Si(OC<sub>2</sub>H<sub>5</sub>)<sub>4</sub>, C<sub>2</sub>H<sub>5</sub>OH и NH<sub>4</sub>OH. Полученные ОМ подвергали термообработке в вакууме (770–970 К; давление ~1 Па) и упрочнению (1400 К; давление > 0,2 МПа).

Из ОМ формировали промежуточный композит, заполняя пустоты ОМ водными растворами солей нитратов Co и Ni и проводя низкотемпературную термообработку (620–720 К, 0,5–1 час), в результате которой разлагались вводимые вещества с образованием в основном рентгеноаморфных оксидов и нитратов. Процесс заполнения пустот раствором (пропитка, комнатная температура, 10–20 ч) и низкотемпературная термообработка проводили циклически (10–24 цикла). При вакуумном введении веществ в пустоты ОМ совмещали процесс заполнения пустот раствором солей с низкотемпературной термообработкой. Процесс вакуумного заполнения пустот и низкотемпературной термообработки проходил при температуре ≤ 420 К и начальном давлении ~1 Па.

Нанокомпозиты заданного состава формировали отжигом промежуточного композита в H<sub>2</sub> (установка «Отжиг ТМ-6», разработка «НИИ точного машиностроения», Зеленоград) при 970–1470 К (до 24 ч).

Морфологию нанокомпозитов изучали на растровом (Carl Zeiss Supra 40-30-87) и просвечивающем (JEM 200C) электронных микроскопах (РЭМ и ПЭМ), а состав определяли на рентгеновском дифрактометре XRD-6000 и лазерном спектроскопе комбинационного рассеяния света LabRAM HR800. Измерения компонент диэлектрической проницаемости в диапазоне высоких частот были проведены с использованием аппаратуры Agilent. Магнитные характеристики образцов изучали на установке MPMS-XL (Quantum Design) [2, 6]. Характеристики Y-циркуляторов с цилиндрическими вставками из нанокомпозитов измеряли приборами КСВН и Р2-65 [7].

## РЕЗУЛЬТАТЫ И ИХ ОБСУЖДЕНИЕ

Для формирования нанокомпозитов использовали образцы ОМ с диаметром (*d*) шаровых частиц SiO<sub>2</sub> ~260 нм ( $\Delta d < 5\%$ ) (рис. 1, а). Рентгеновские дифрактограммы промежуточных композитов (до отжига в H<sub>2</sub>) позволили установить наличие в пустотах следующих веществ: NiO (пространственная группа *Fm3m*) и Co<sub>3</sub>O<sub>4</sub> (пр. гр. *Fd3m*).

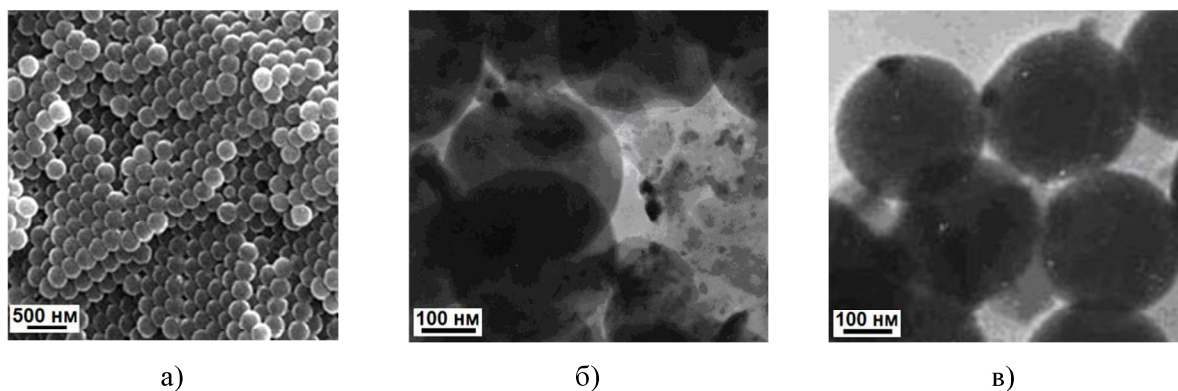


Рис. 1. а) РЭМ-изображение поверхности: роста ОМ; б,в) ПЭМ-изображение нанокомпозитов, на основе ОМ, содержащих кристаллиты: б) Ni в) Co

В зависимости от условий отжига промежуточного композита в нанокомпозитах формируются различные вещества (см. таблицу 1). Отжиг в H<sub>2</sub> при температурах ≥1000 К приводил к образованию в пустотах кристаллитов Ni (пр. гр. *Fm3m*) и Co (пр. гр. *Fm3m*). На снимках измельченных образцов нанокомпозитов наблюдали кристаллиты синтезированных в пустотах ОМ металлов (рис. 1б, 1в). Кристаллиты металлов заполняли > 20% объема

пустот. Отжиг в  $H_2$  при температуре 970 К приводил к формированию кристаллитов Ni (пр. гр.  $Fm\bar{3}m$ ); Co (пр. гр.  $Fm\bar{3}m$ ), а также гексагональной модификации кобальта (Co (пр. гр.  $P6_3/mmc$ )). Образование различных модификаций Co, синтезированного в пустотах, зависело от состава пропитывающего раствора и условий отжига. Размер кристаллитов (области когерентного рассеяния рентгеновского излучения) синтезированных в пустотах веществ находился в пределах: Ni (пр. гр.  $Fm\bar{3}m$ ) – 20–32 нм; Co (пр. гр.  $Fm\bar{3}m$ ) – 24–56 нм; Co (пр. гр.  $P6_3/mmc$ ) – 18–36 нм.

Таблица 1  
 Формирование кристаллитов в нанокомпозитах

Состав раствора, заполняющего пустоты	Температура и время отжига	Кристаллиты, образующиеся в пустотах ОМ
$Ni(NO_3)_2$ и $Co(NO_3)_2$ в $H_2O$	990 К, в воздухе, 4 ч	NiO (пр. гр. $Fm\bar{3}m$ ); $Co_3O_4$ (пр. гр. $Fd\bar{3}m$ )
	990 К, в $H_2$ , 4 ч	Ni (пр. гр. $Fm\bar{3}m$ ); Co (пр. гр. $Fm\bar{3}m$ )
	970 К, в $H_2$ , 4 ч	Ni (пр. гр. $Fm\bar{3}m$ ), Co (пр. гр. $Fm\bar{3}m$ ), Co (пр. гр. $Pm\bar{3}m$ )

По данным спектроскопии комбинационного рассеяния света полученные нанокомпозиты в дополнении к кристаллическим фазам, содержали аморфные фазы, что осложняло подбор концентраций используемых растворов солей нитратов для синтеза веществ заданного состава и строения. Концентрация кристаллических фаз в смеси аморфной и кристаллической составляющих синтезированных веществ, содержащих Co и Ni, зависела от условий отжига и в ряде случаев достигала 60 % (по объему).

При отжиге образцов промежуточных композитов при температурах отжига выше 1070 К, в ряде случаев в нанокомпозитах проходила рекристаллизация рентгеноаморфного  $SiO_2$  и взаимодействие Ni с  $SiO_2$  с образованием кристаллитов  $Ni_2SiO_4$  и других веществ.

На рис. 2 представлены частотные зависимости диэлектрических характеристик нанокомпозитов на основе ОМ, содержащих в пустотах Ni. Нанокомпозиты, содержащие Co, имели аналогичный вид частотных зависимостей.

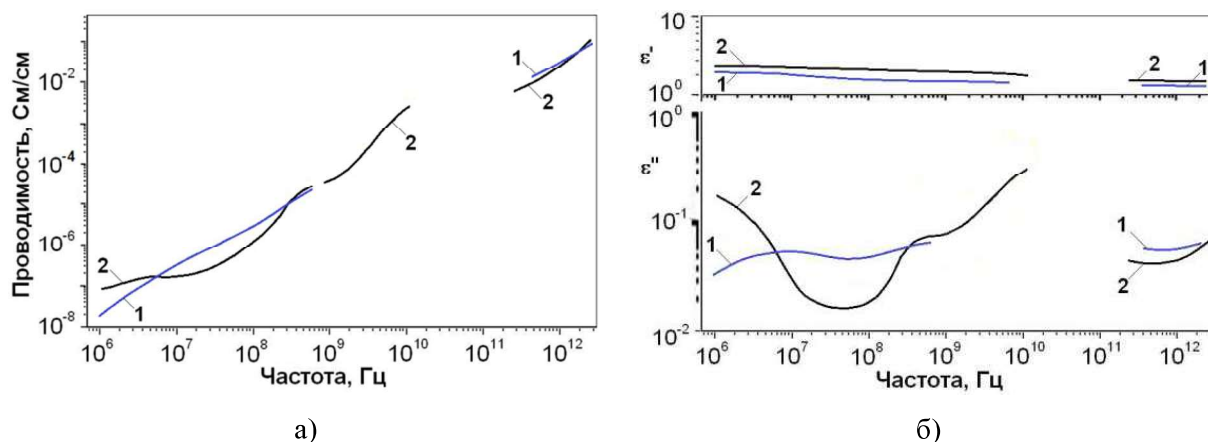


Рис. 2. Частотные зависимости: а) микроволновой проводимости; б) действительной ( $\epsilon'$ ) и мнимой ( $\epsilon''$ ) компонент диэлектрической проницаемости ОМ (1) и нанокомпозита на основе ОМ, пустоты которой содержат кристаллиты Ni (2)

Магнитные характеристики нанокомпозитов на основе ОМ, содержащих кристаллиты Co и Ni, представлены на рис. 3–5. С целью проверки особенностей строения

ферромагнитных областей, был измерен магнитный момент нанокомпозитов, содержащих кристаллиты Co и Ni (рис. 3). Петли гистерезиса указанных нанокомпозитов в области магнитного поля 3 кЭ представлены на вставке к рис. 3. Наблюдаются характерная для ферромагнетиков петля гистерезиса, при этом, величина коэрцитивной силы указывает на наноструктурированность магнитной фазы. Величины коэрцитивных сил в случае нанокомпозитов, содержащих кристаллиты Co и Ni, указывают на характерное ферромагнитное упорядочение. Измерения образцов, полученных при различных условиях отжига, показали, что имеет место влияние на измеряемые параметры многофазности синтезированных в пустотах веществ и концентрации кристаллической фазы в составе синтезированных веществ.

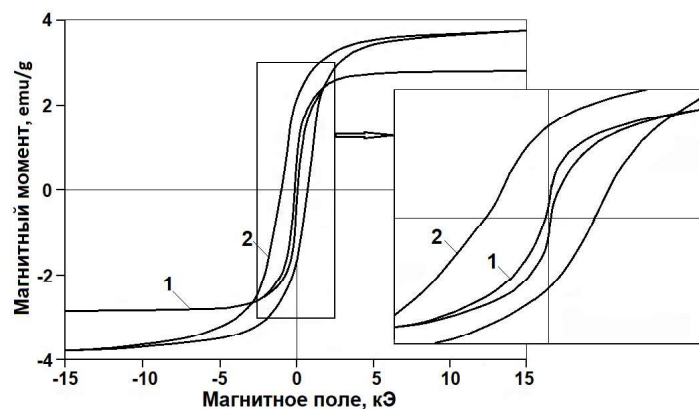


Рис. 3. Петли гистерезиса нанокомпозита на основе ОМ, пустоты которой содержат кристаллиты Co и Ni (отжиг в  $H_2$  при 970 К) (температура измерений 300 К (1) и 2 К (2))

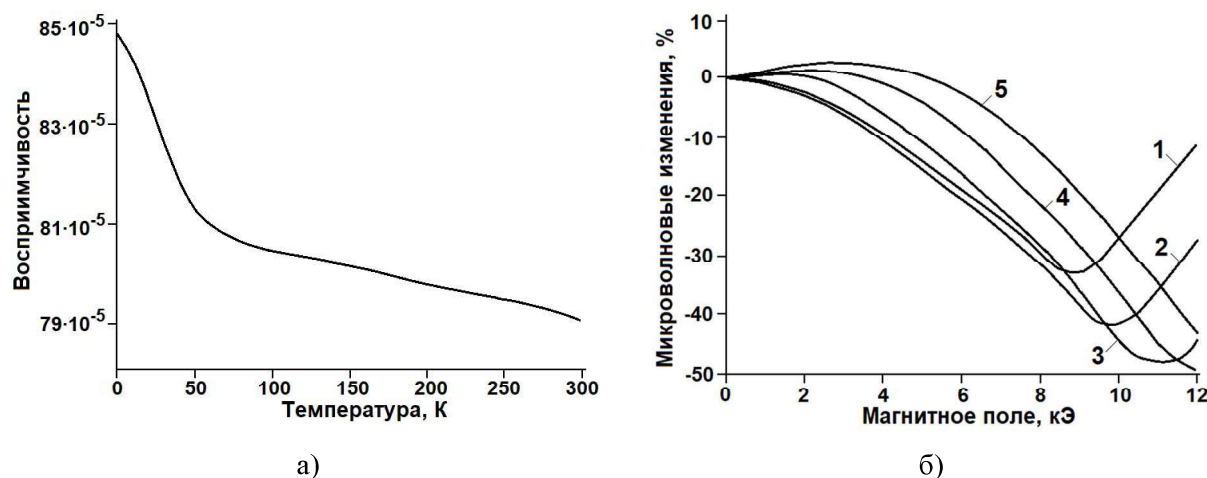


Рис. 4. Магнитные свойства нанокомпозита на основе ОМ, пустоты которой содержат кристаллиты Co и Ni: а) Зависимость магнитной восприимчивости от температуры (при  $H = 30$  кЭ). б) Полевая зависимость коэффициента прохождения через нанокомпозит на частотах: 1 – 26; 2 – 29; 3 – 32; 4 – 35; 5 – 38 ГГц

Цилиндрические вкладыши, изготовленные из нанокомпозитов на основе ОМ, пустоты которых содержат кристаллиты Co и Ni, использовали в Y-циркуляторах, включающих диэлектрическую вставку и прямоугольные волноводы [7]. Результаты измерений характеристик партии Y-циркуляторов с вкладышами из нанокомпозитов, содержащих по данным рентгеновской дифрактометрии кристаллиты Co и Ni, а также (по данным спектроскопии комбинационного рассеяния света) рентгеноаморфные фазы оксидов металлов,

представлены на рис. 6. Y-циркулятор с вкладышами из нанокомпозитов на основе ОМ, пустоты которых заполнены кристаллитами Со и Ni (1:1), показал лучшую связку между плечами, меньшие значения прямых потерь, более широкую полосу пропускания по сравнению с Y-циркулятором с вкладышами из феррита марки 1СЧ4 (Ni-Zn-шпинель). Указанные характеристики Y-циркуляторов с вкладышем из нанокомпозитов на основе ОМ были улучшены более чем на 20%.

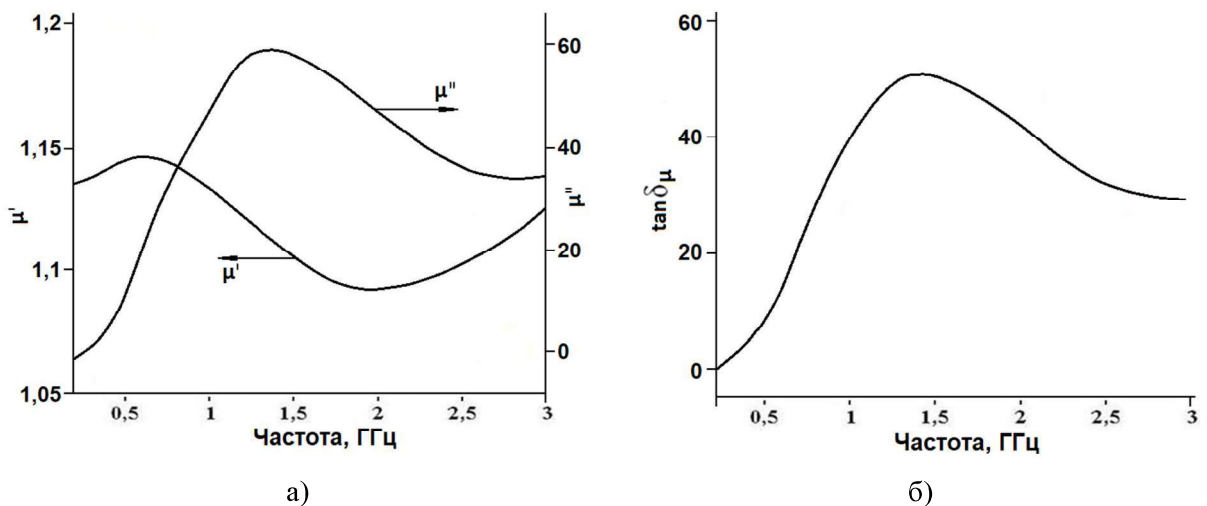


Рис. 5. Частотные зависимости для нанокомпозита на основе ОМ, пустоты которой содержат кристаллиты Со и Ni: а) действительной ( $\mu'$ ) и мнимой ( $\mu''$ ) компонент магнитной проницаемости; б) тангенса потерь

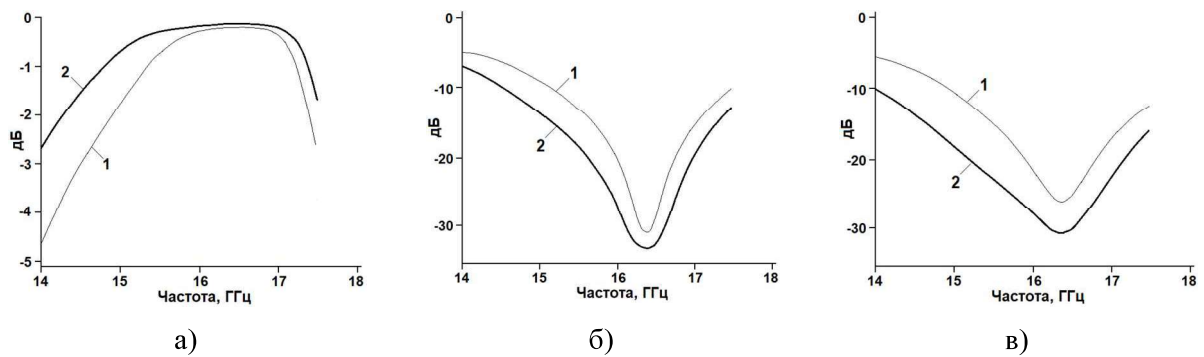


Рис. 6. Частотные зависимости: а) прямых потерь; б) коэффициента отражения; в) связки между плечами для Y-циркуляторов с цилиндрическими вкладышами из: 1 – феррита 2СЧ1, 2 – нанокомпозита на основе ОМ, содержащих кристаллиты Со и Ni (1:1)

Измерения характеристик другой серии Y-циркуляторов с вкладышами из нанокомпозитов на основе ОМ, содержащих кристаллиты Со и Ni, полученных при различных условиях отжига, показали, что имеет место значительное влияние на измеряемые параметры содержание кристаллической фазы в составе синтезированных веществ (рис. 7).

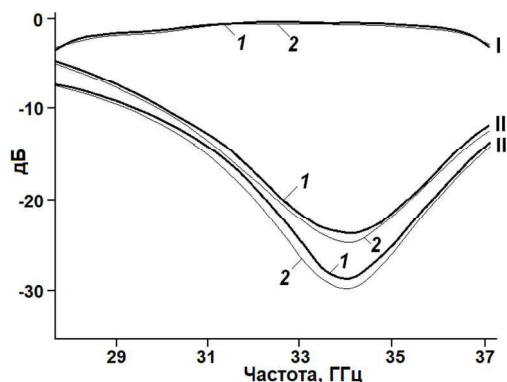


Рис. 7. Характеристики (прямые потери (I); коэффициент отражения (II); связь между плечами (III)) Y-циркуляторов со вставками из нанокомпозитов на основе ОМ, пустоты которых содержат кристаллиты Со и Ni (нанокомпозиты получены отжигом в Н<sub>2</sub> при 970 К (1) и 1470 К (2))

Нанокомпозиты, сформированные с применением вакуумного метода получения промежуточных композитов, имели равномерное распределение кристаллитов металлов по объему нанокомпозита. Однородная упорядоченность объемного распределения кристаллитов металлов улучшила воспроизводимость и стабильность магнитных характеристик нанокомпозитов.

## ЗАКЛЮЧЕНИЕ

Изучено строение, электрофизические, магнитные и СВЧ-характеристики нанокомпозитов на основе ОМ, пустоты которых содержат кристаллиты Со и Ni. Исследованы диэлектрические и магнитные характеристики нанокомпозитов на основе ОМ. Рассмотрены результаты применения образцов магнитных нанокомпозитов, содержащих кристаллиты металлов размером 18–56 нм, в качестве вставок в Y-циркуляторы. Применение вкладышей из нанокомпозитов, содержащих кристаллиты Со и Ni, показало улучшение на ≥ 20% характеристик Y-циркулятора, по сравнению Y-циркулятором с керамическим вкладышем из феррита (Ni-Fe-шпинель).

## ЛИТЕРАТУРА

1. Armstrong E., O'Dwyer C. Artificial opal photonic crystals and inverse opal structures – fundamentals and applications from optics to energy storage // Journal of Materials Chemistry C. 2015. V. 3. № 24. P. 6109–6143.
2. Samoilovich M.I., Rinkevich A.B., Bovtun V., Belyanin A.F., Kempa M., Nuzhnny D., Tsvetkov M.Yu., Kleshcheva S.M. Optical, magnetic, and dielectric properties of opal matrices with intersphere nanocavities filled with crystalline multiferroic, piezoelectric, and segeetoelectric materials // Russian Journal of General Chemistry. 2013. V. 83. № 11. P. 2132–2147.
3. Ozbay E., Temelkuran B., Bayindir M. Microwave applications of photonic crystals // Progress In Electromagnetics Research. PIER. 2003. V. 41. P. 185–209.
4. Rinkevich A.B., Perov D.V. Electromagnetic field inhomogeneity in artificial crystals with ferrimagnetic particles // Doklady Physics. 2018. V. 63. № 7. P. 269–271.
5. Белянин А.Ф., Багдасарян А.С., Багдасарян С.А., Павлюкова Е.Р. Трехмерные композиционные наноматериалы на основе опаловых матриц для устройств электронной техники // Журнал радиоэлектроники. 2021. № 1. С. 11.

6. Ринкевич А.Б., Перов Д.В., Самойлович М.И., Белянин А.Ф., Пащенко П.В., Тимофеев М.А. Опаловые матрицы со слоистой структурой Co/Ir и 3D-нанокомпозиты опаловая матрица – соединения Co // Инженерная физика. 2009. № 10. С. 18–24.
7. Голованов О.А., Макеева Г.С., Самойлович М.И., Ринкевич А.Б. Невзаимные устройства сверхвысоких частот на основе магнитных нанокомпозитов из опаловых матриц // Радиотехника и электроника. 2016. Т. 61. № 2. С. 184.
8. Belyanin A.F., Bagdasaryan A.S., Bagdasaryan S.A., Pavlyukova E.R. Nanostructured materials based on opal matrixes and magnetic oxides Ni(Co)-Zn-Fe // Журнал радиоэлектроники. 2020. № 3. С. 6.

## **СВЕДЕНИЯ ОБ АВТОРАХ**

Белянин А.Ф. – Центральный научно-исследовательский технологический институт «Техномаш», г. Москва

Ринкевич А.Б. – Институт физики металлов им. М.Н. Михеева УрО РАН, г. Екатеринбург

Павлюкова Е.Р. – Институт радиотехники и электроники им. В.А. Котельникова РАН, г. Москва

Пащенко П.В. – Научно-исследовательский институт ядерной физики им. Д.В. Скobel'цина Московского государственного университета им. М.В. Ломоносова, г. Москва

Борисов В.В. – Научно-исследовательский институт ядерной физики им. Д.В. Скobel'цина Московского государственного университета им. М.В. Ломоносова, г. Москва